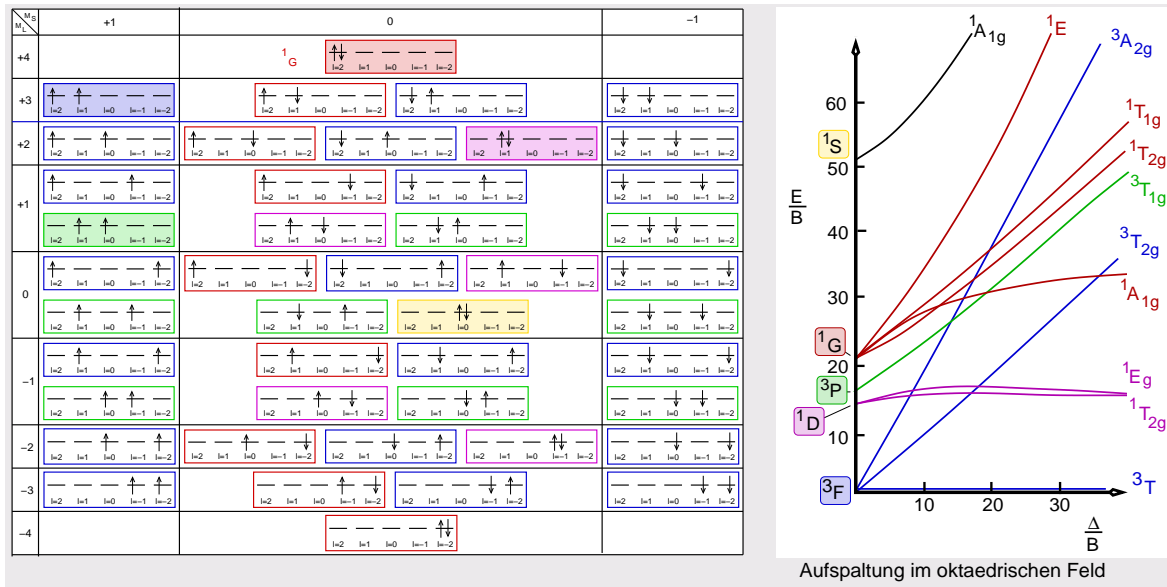


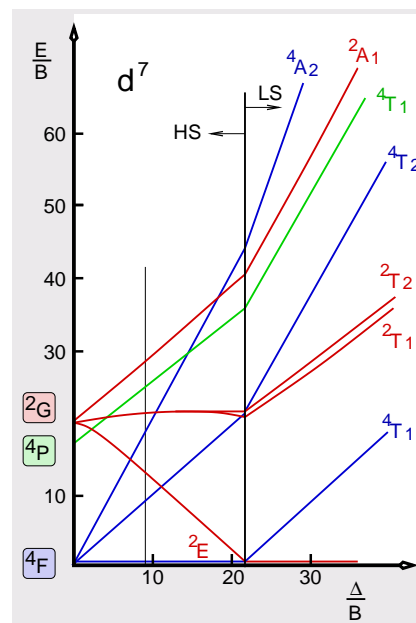
### 2.3. UV/VIS-Spektren von Übergangsmetallkomplexen (Forts.)



Mikrozustände, Ableitung der entarteten Terme und Tanabe-Sugano-Diagramm für d<sup>2</sup>-Ionen

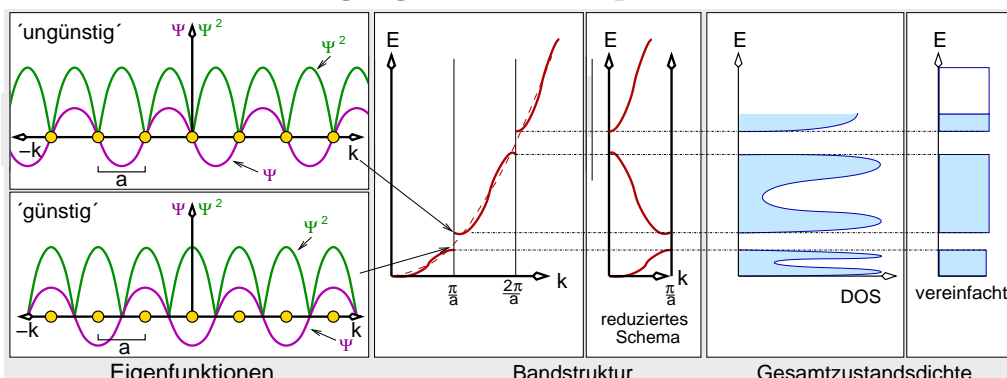
RS-Terme	Kristallfeldkomponenten
S	A <sub>1g</sub>
P	T <sub>1g</sub>
D	E <sub>g</sub> , T <sub>2g</sub>
F	A <sub>2g</sub> , T <sub>1g</sub> , T <sub>2g</sub>
G	A <sub>1g</sub> , E <sub>g</sub> , T <sub>1g</sub> , T <sub>2g</sub>
H	E <sub>g</sub> , 2 T <sub>1g</sub> , T <sub>2g</sub>
I	A <sub>1g</sub> , A <sub>2g</sub> , E <sub>g</sub> , T <sub>1g</sub> , 2 T <sub>2g</sub>

Aufspaltung der Russel-Saunders-Terme im oktaedrischen elektrostatischen Feld



Tanabe-Sugano-Diagramm für d<sup>7</sup> (dünne Linie: [Co(H<sub>2</sub>O)<sub>6</sub>]<sup>2+</sup>-Komplex)

### 2.4. Band-Band-Übergänge bei Festkörpern



Elektron im Kasten: Lösungen bei periodischem Potential der Kerne